

## Sm<sup>3+</sup>含量对 BaSm<sub>x</sub>Fe<sub>12-x</sub>O<sub>19</sub>(x≤0.4)铁氧体纳米纤维结构和磁性能的影响

孟献丰\* 郭立举 沈湘黔

(江苏大学材料科学与工程学院, 镇江 212013)

**摘要:** 以金属盐和柠檬酸为原料,采用溶胶-凝胶法制备直径在1 μm以内的BaSm<sub>x</sub>Fe<sub>12-x</sub>O<sub>19</sub>(x≤0.4)铁氧体纳米纤维。采用FTIR、SEM、EDS、XRD和VSM对BaSm<sub>x</sub>Fe<sub>12-x</sub>O<sub>19</sub>(x≤0.4)铁氧体纳米纤维进行表征。结果表明,经950℃烧结后,BaSm<sub>x</sub>Fe<sub>12-x</sub>O<sub>19</sub>(x≤0.4)铁氧体已成相,且其微观结构和磁性能受掺杂离子浓度的影响。随着Sm<sup>3+</sup>含量的增加,饱和磁化强度呈先减小后增大的趋势,而矫顽力随Sm<sup>3+</sup>含量增加而逐渐增大,由x=0时的348.8 kA·m<sup>-1</sup>增大到x=0.4时的427.5 kA·m<sup>-1</sup>。与之相对应,在液氮(77 K)条件下,纤维的饱和磁化强度有显著的提高,而矫顽力则明显下降,这主要是由于纳米晶的表面自旋提高造成的。

**关键词:** 钡铁氧体; Sm<sup>3+</sup>掺杂; 纤维; 磁性能; 自旋

中图分类号: O614; TQ343.41 文献标识码: A 文章编号: 1001-4861(2012)02-0263-06

### Effect of Sm<sup>3+</sup> Substitution on Structure and Magnetic Properties of BaSm<sub>x</sub>Fe<sub>12-x</sub>O<sub>19</sub> (x≤0.4) Ferrite Nanofiber

MENG Xian-Feng\* GUO Li-Ju SHEN Xiang-Qian

(School of Materials Science and Engineering, Jiangsu University, Zhenjiang, Jiangsu 212013, China)

**Abstract:** BaSm<sub>x</sub>Fe<sub>12-x</sub>O<sub>19</sub> (x≤0.4) ferrite nanofibers below 1 μm were prepared by sol-gel method from starting reagents of metal salts and citric acid. These nanofibers were characterized by FTIR, SEM, EDS, XRD and VSM. The results show that the BaSm<sub>x</sub>Fe<sub>12-x</sub>O<sub>19</sub> (x≤0.4) ferrites were obtained at 950 °C. The microstructure and magnetic property of nanofibers are mainly influenced by Sm<sup>3+</sup> contents. The specific saturation magnetization of BaSm<sub>x</sub>Fe<sub>12-x</sub>O<sub>19</sub> ferrite nanofiber calcined at 950 °C initially decreases and then increases with a further Sm content, while the coercivity exhibits a continuous increase from 348.8 kA·m<sup>-1</sup> (x=0) to 427.5 kA·m<sup>-1</sup> (x=0.4). The differences of magnetic properties are attributed to surface spin.

**Key words:** barium ferrite; Sm substitution; fibers; magnetic property; surface spin

## 0 引言

六角钡铁氧体(BaFe<sub>12</sub>O<sub>19</sub>)作为一种永磁材料,具有矫顽力大、共振频率高、热稳定性高和抗腐蚀能力强等特点,而且具有原料来源广泛、生产成本低、性能稳定等优点,广泛应用于电子通讯、高密度磁记录媒介、彩色显示、磁光和磁性器件及电磁屏蔽

等领域,尤其是近年来在微波吸收领域已引起人们极大的兴趣<sup>[1-7]</sup>。但是在实际生产过程中,钡铁氧体的各项性能与其理论值相比尚有较大差距,同时为了调控其性能的变化,以满足不同实际应用的需要,人们开始进行离子掺杂方面的研究<sup>[8-12]</sup>。Wang等<sup>[13]</sup>通过化学共沉淀法制备了BaFe<sub>12-2x</sub>Co<sub>x</sub>Ti<sub>x</sub>O<sub>19</sub>粉体,研究了Co-Ti取代Fe对结构和磁性能的影响。

收稿日期:2011-07-14。收修改稿日期:2011-10-08。

国家自然科学基金(No.50674048),中国博士后科学基金(No.20080431069)资助项目。

\*通讯联系人。E-mail:mxlf2029@ujs.edu.cn

发现 Co-Ti 含量的增加对初始磁导率和磁共振频率的提高有显著的影响。Liu 等<sup>[14]</sup>研究了 La-Co 取代对磁性能的影响,随着 La-Co 浓度的增加,体系的  $M_s$  和  $H_c$  显著增加,但  $B_r$  却明显减小。

到目前为止,对于 Sm 掺杂的钡铁氧体的研究主要集中在粉体<sup>[15]</sup>,对一维材料尤其是一维纳米结构材料的研究未见报道。一维纳米结构材料由于具有量子尺寸效应、宏观量子隧道效应、界面效应及高长径比和明显的形状各向异性等特点,使它们的光、电、磁等物理性质发生质的变化,可被潜在的应用于传感器、磁记录、微波吸收、生物医学等领域<sup>[16-17]</sup>。目前制备纤维的方法主要有静电纺丝法<sup>[18]</sup>、气-液-固相生长法<sup>[19]</sup>、电镀模板法<sup>[20]</sup>和溶胶-凝胶法<sup>[11]</sup>等。本实验采用溶胶-凝胶法制备了  $\text{BaSm}_x\text{Fe}_{12-x}\text{O}_{19}$  ( $x \leq 0.4$ ) 铁氧体纳米纤维,研究  $\text{Sm}^{3+}$  含量对钡铁氧体纤维的形貌、微观结构和磁性能的影响。

## 1 实验部分

### 1.1 纤维制备

本实验采用溶胶-凝胶法制备  $\text{BaSm}_x\text{Fe}_{12-x}\text{O}_{19}$  ( $x \leq 0.4$ ) 铁氧体纳米纤维,制备过程参照  $\text{SrFe}_{12}\text{O}_{19}$  铁氧体纤维的制备过程<sup>[21]</sup>。将一定量的柠檬酸 [ $\text{C}_6\text{H}_8\text{O}_7 \cdot \text{H}_2\text{O}$ , A.R.]、硝酸铁 [ $\text{Fe}(\text{NO}_3)_3 \cdot 9\text{H}_2\text{O}$ , A.R.]、硝酸钡 [ $\text{Ba}(\text{NO}_3)_2$ , A.R.] 和硝酸钐 [ $\text{Sm}(\text{NO}_3)_3$ ] 溶于去离子水中,其中柠檬酸根和金属离子的比例在 1.5:1 左右,用氨水调节 pH 值至 3~4,室温下磁力搅拌 24 h 后置于旋转蒸发器中,在 60~75 ℃ 真空脱水得到凝胶。具有可纺性的凝胶经自制纺丝机制得 1  $\mu\text{m}$  左右的纤维素丝,以 3  $^{\circ}\text{C} \cdot \text{min}^{-1}$  升温至不同的温度焙烧制得

目标纤维。

### 1.2 纤维表征

利用美国 NICOLET 公司的 NEXUS470 傅立叶红外光谱仪(FTIR)研究目标产物的结构;通过日本理学 D/max-rA X 射线衍射仪 (XRD, Cu  $K\alpha$ ,  $\lambda = 0.154178 \text{ nm}$  管电流为 10 mA, 管电压为 50 kV, 扫描速度为  $4^{\circ} \cdot \text{min}^{-1}$ , 步宽  $0.01^{\circ} \cdot \text{min}^{-1}$ )分析目标产物的物相组成;采用日本 JEOL 公司的 JSM-7001F 型场发射扫描电镜(SEM)和能谱仪(EDS)表征所制备纤维的形貌、化学组成和微观结构。使用南京大学仪器厂生产的 HH-15 振动样品磁强计(VSM)测量  $\text{BaSm}_x\text{Fe}_{12-x}\text{O}_{19}$  ( $x \leq 0.4$ ) 铁氧体纤维在 300 K 和 77 K 的磁性能。

## 2 结果与讨论

### 2.1 纤维的结构分析

图 1 和图 2 分别为 950 ℃ 烧结 1 h 后, 目标产物的 XRD 和 FTIR 图谱。从图 1 可以看出, 经 950 ℃ 烧后, 钡铁氧体相(PDF No.27-1029)已经生成, 随着  $\text{Sm}^{3+}$  含量的增加, 没有其它杂峰的出现, 这说明  $\text{Sm}^{3+}$  已有效进入钡铁氧体晶格, 且未破坏其晶体结构。从局部放大图中可以看出, 随着  $\text{Sm}^{3+}$  含量的增加, 样品的特征衍射峰向小角度有稍许偏移, 当含量达到 0.4 时, 偏移有明显增大趋势, 这主要是由于  $\text{Sm}^{3+}$  的离子半径(0.096 nm)大于  $\text{Fe}^{3+}$  的离子半径(0.065 nm),  $\text{Sm}^{3+}$  的掺杂改变了样品的晶胞参数的缘故。根据 114 衍射面衍射峰数据, 利用 Scherrer 公式计算了纤维中晶粒的平均尺寸, 所得结果列于表 1 中。从表 1 可以看出, 随着  $\text{Sm}^{3+}$  含量的增加, 所制备

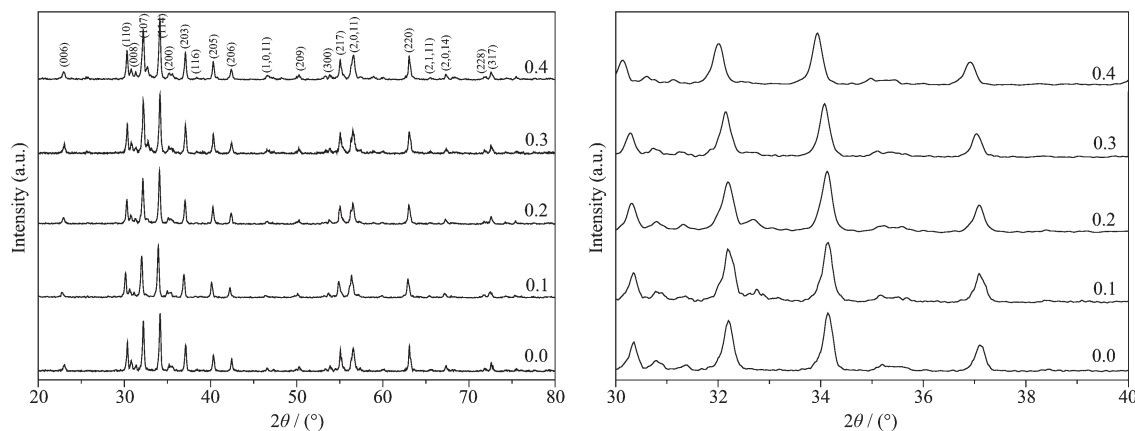


图 1 950 ℃ 烧结 1 h, 不同  $\text{Sm}^{3+}$  含量  $\text{BaSm}_x\text{Fe}_{12-x}\text{O}_{19}$  纳米纤维的 XRD 图及局部放大图

Fig.1 XRD patterns of  $\text{BaSm}_x\text{Fe}_{12-x}\text{O}_{19}$  nanofibers calcined at 950 ℃ for 1 h with different  $\text{Sm}^{3+}$  content and partial enlarged drawing

**表 1 950 °C焙烧 1 h, 不同 Sm<sup>3+</sup>含量的 BaSm<sub>x</sub>Fe<sub>12-x</sub>O<sub>19</sub> 纳米纤维的晶粒尺寸(D)和 FTIR 特征峰**  
**Table 1 Grain size and FTIR characteristic frequencies ( $\nu_1$ ,  $\nu_2$ ,  $\nu_3$ ) of BaSm<sub>x</sub>Fe<sub>12-x</sub>O<sub>19</sub> nanofibers with different Sm<sup>3+</sup> contents calcined at 950 °C for 1 h**

$x$ in BaSm <sub>x</sub> Fe <sub>12-x</sub> O <sub>19</sub>	D / nm	$\nu_1$ / cm <sup>-1</sup>	$\nu_2$ / cm <sup>-1</sup>	$\nu_3$ / cm <sup>-1</sup>
0	59	441.6	549.6	595.9
0.1	58	436.0	543.9	593.8
0.2	56	432.0	545.8	590.1
0.3	55	430.1	545.8	590.1
0.4	53	430.0	543.2	582.4

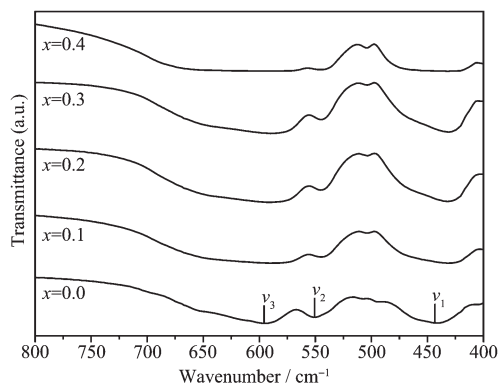


图 2 950 °C焙烧 1 h, 不同 Sm<sup>3+</sup>含量 BaSm<sub>x</sub>Fe<sub>12-x</sub>O<sub>19</sub> 纳米纤维的 FTIR 图谱

Fig.2 FTIR patterns of BaSm<sub>x</sub>Fe<sub>12-x</sub>O<sub>19</sub> nanofibers calcined at 950 °C for 1 h with different Sm<sup>3+</sup> content

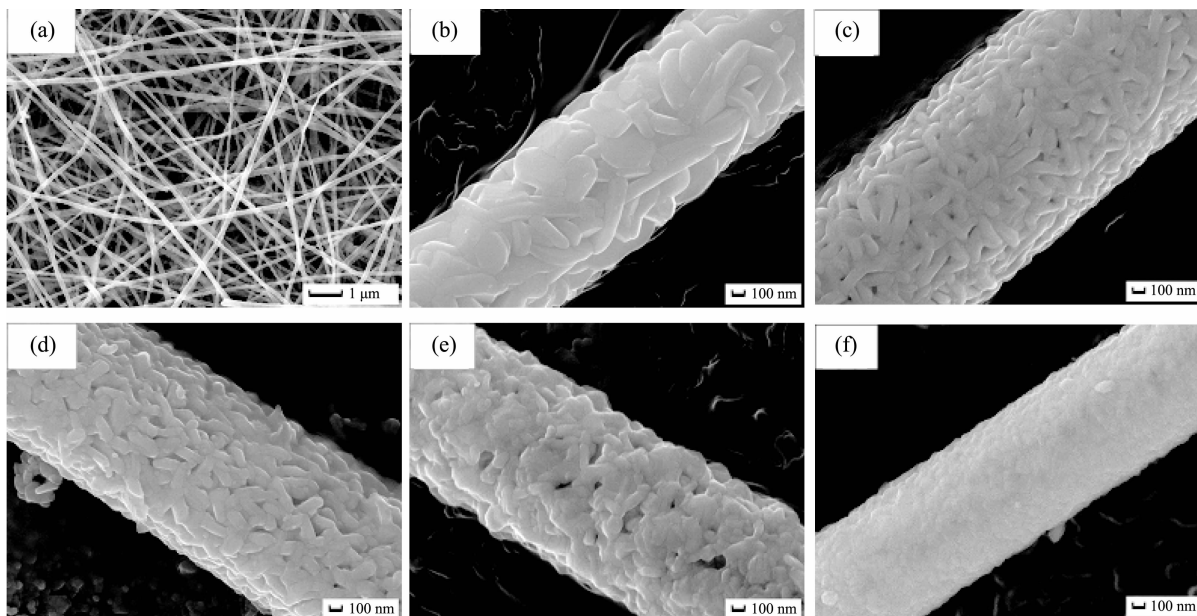
的纤维中晶粒的平均晶粒尺寸由  $x=0$  时的 59 nm 逐渐减小到  $x=0.4$  时的 53 nm。这主要是由于 Sm<sup>3+</sup>

的 4f 电子层具有稳定的结构, 随着 Sm<sup>3+</sup>取代 Fe<sup>3+</sup>, 提高了 BaSm<sub>x</sub>Fe<sub>12-x</sub>O<sub>19</sub> 铁氧体纤维的热稳定性, 因此需要更高的能量使铁氧体结晶化完全和晶粒长大, 从而抑制了晶粒的生长<sup>[22-23]</sup>。

从图 2 可知, 在 430 cm<sup>-1</sup>、540 cm<sup>-1</sup> 和 590 cm<sup>-1</sup> 附近出现了归属于 M 型 BaFe<sub>12</sub>O<sub>19</sub> 铁氧体的特征吸收峰, 说明 Sm<sup>3+</sup>的掺杂并没改变 BaFe<sub>12</sub>O<sub>19</sub> 铁氧体的晶体结构, 这与 XRD 的结果一致。但随着 Sm<sup>3+</sup>含量增加, 特征峰出现宽化现象, 且特征峰向低波数方向移动, 对应的  $\nu_1$ 、 $\nu_2$  和  $\nu_3$  值列于表 1。这主要是因为 Sm<sup>3+</sup>的半径大于 Fe<sup>3+</sup>的半径, 随着 Sm<sup>3+</sup>取代 Fe<sup>3+</sup>进入晶格, 改变了铁氧体晶格中 Fe-O 键的距离, 使晶格产生畸变, 从而使吸收峰向低频方向移动<sup>[24]</sup>。

## 2.2 纤维的形貌分析

图 3 给出了 BaSm<sub>x</sub>Fe<sub>12-x</sub>O<sub>19</sub>( $x\leq 0.4$ ) 纳米纤维在 950 °C焙烧 1 h 后的 SEM 像。从图 3 可以看出, 所



(a) 0.2 (b) 0 (c) 0.1 (d) 0.2 (e) 0.3 and (f) 0.4

图 3 950 °C焙烧 1 h 后, 不同 Sm<sup>3+</sup>含量的 BaSm<sub>x</sub>Fe<sub>12-x</sub>O<sub>19</sub> 纳米纤维的 SEM 形貌

Fig.3 SEM images of BaSm<sub>x</sub>Fe<sub>12-x</sub>O<sub>19</sub> nanofibers with different Sm<sup>3+</sup> contents calcined at 950 °C for 1 h

制备的纤维具有较大的长径比,纤维的直径均匀分布在1 μm以内。当掺杂量为0时,可以看到纤维的表面主要由六角片状颗粒组成,片厚约为100 nm,且排列较为紧密。随着Sm<sup>3+</sup>离子掺量的不断增加,根据XRD结果,组成纤维的晶粒逐渐减小,晶粒相互团聚,六角片状颗粒不再明显。

表2 950 °C焙烧1 h后,不同Sm<sup>3+</sup>的BaSm<sub>x</sub>Fe<sub>12-x</sub>O<sub>19</sub>纳米纤维EDS成分分析和磁性能

Table 2 EDS elemental analysis and magnetic property of BaSm<sub>x</sub>Fe<sub>12-x</sub>O<sub>19</sub> nanofibers with different Sm contents calcined at 950 °C for 1 h

x in BaSm <sub>x</sub> Fe <sub>12-x</sub> O <sub>19</sub>	Ba / at%	Sm / at%	Fe / at%	$M_s$ / (emu·g <sup>-1</sup> )	$M_r$ / (emu·g <sup>-1</sup> )	$H_c$ / (kA·m <sup>-1</sup> )
0	3.1	—	37.4	68.7	42.2	348.8
0.1	3.1	0.3	37.2	61.1	37.1	405.5
0.2	3.2	0.6	36.9	55.5	34.5	412.5
0.3	3.1	0.9	36.5	53.2	33.8	421.6
0.4	3.2	1.2	36.3	57.8	34.8	427.5

### 2.3 纤维的磁性能分析

图4所示为不同Sm<sup>3+</sup>含量BaSm<sub>x</sub>Fe<sub>12-x</sub>O<sub>19</sub>(x≤0.4)铁氧体纳米纤维的磁滞回线,对应的磁性能参数,如饱和磁化强度( $M_s$ ),剩磁( $M_r$ )和矫顽力( $H_c$ )列于表2中。由表2可知,随着Sm<sup>3+</sup>含量的增加,样品的饱和磁化强度和剩磁皆有先减小后增大的变化趋势,在x=0.3时,分别到达最小值53.2 emu·g<sup>-1</sup>和33.8 emu·g<sup>-1</sup>,但都小于母体钡铁氧体(68.7 emu·g<sup>-1</sup>和42.2 emu·g<sup>-1</sup>),且增大幅度不大。这是因为Fe<sup>3+</sup>的离子磁矩主要来源于它的未成对电子的自旋运动磁矩,为5μ<sub>B</sub>,而Sm<sup>3+</sup>的磁矩为1.55μ<sub>B</sub>,当Fe<sup>3+</sup>被Sm<sup>3+</sup>取代后,导致体系的总磁矩减小,并且由于Sm<sup>3+</sup>的半径比Fe<sup>3+</sup>的大,其价轨道的能量比O<sup>2-</sup>的高得多,随着Sm<sup>3+</sup>含量的增加,能量上的不匹配减弱了A-O-

为了验证制备的BaSm<sub>x</sub>Fe<sub>12-x</sub>O<sub>19</sub>(x≤0.4)纳米纤维的组分设计,利用能谱仪(EDS)对纤维的元素组成进行分析(误差不超过0.1%),并计算了各元素的原子百分数,所得数值列于表2。由表2可知,利用溶胶-凝胶法制备的BaSm<sub>x</sub>Fe<sub>12-x</sub>O<sub>19</sub>(x≤0.4)纤维的组分基本满足预期组分设计要求。

B超交换作用,导致饱和磁化强度降低<sup>[26-27]</sup>。另一方面,对于纳米颗粒,由于具有大的比表面积,导致了表面结构的无序性,Sm<sup>3+</sup>含量的增加会使表面上产生一层伪自旋结构,破坏了晶粒表面磁矩共线性,从而引起晶粒表面或内部的自旋翻转,从而降低了体系中总的磁畴数目,也会使饱和磁化强度降低<sup>[24-25]</sup>。

当Sm<sup>3+</sup>含量不小于0.3时,一部分Sm<sup>3+</sup>会驻留在晶界中,造成晶格膨胀,晶格参数的变化将会产生晶格应变,从而产生一定的微观内应力,改变了键角并增大A-O-B的超交换作用,因此饱和磁化强度略有增加<sup>[15,28]</sup>。上述因素综合导致Sm<sup>3+</sup>掺杂样品的饱和磁化强度随Sm<sup>3+</sup>含量的增加呈现先减小后增大的变化趋势。

与之相对应,随Sm<sup>3+</sup>含量的增加,矫顽力呈现出持续增大的变化趋势,由x=0时的348.8 kA·m<sup>-1</sup>上升到x=0.4时427.5 kA·m<sup>-1</sup>,增幅为22%。这主要是因为Sm<sup>3+</sup>的半径大于Fe<sup>3+</sup>的半径,随着Sm<sup>3+</sup>含量的增加,破坏了晶体结构原有的对称性,阻碍了磁畴壁的移动;另外,与Fe相比Sm的各向异性较大,随着Sm<sup>3+</sup>含量的增加,会使晶体中空隙和晶界增多,颗粒的各向异性增大,从而使矫顽力增加<sup>[14]</sup>。

图5和图6分别给出了样品在室温(300 K)和液氮(77 K)条件下测试的不同Sm<sup>3+</sup>含量纤维的饱和磁化强度( $M_s$ )和矫顽力( $H_c$ )的变化曲线。由图5可知,在液氮(77 K)中,样品的饱和磁化强度均明显高于在室温(300 K)条件下测得的数据。这一差异主要是由纳米晶体表面的自旋无序程度降低造成的。在

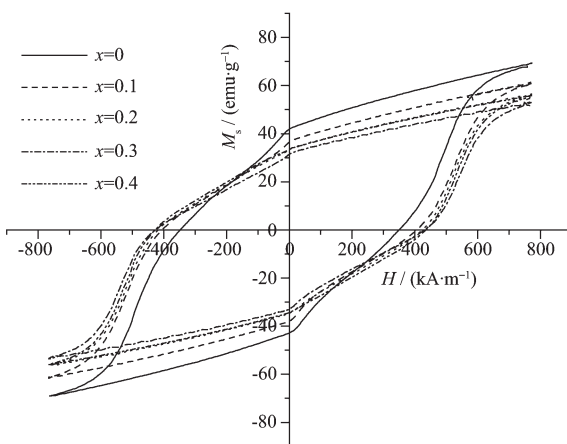


图4 BaSm<sub>x</sub>Fe<sub>12-x</sub>O<sub>19</sub>铁氧体纳米纤维的磁滞回线

Fig.4 Hysteresis loop for of BaSm<sub>x</sub>Fe<sub>12-x</sub>O<sub>19</sub> ferrite nanofibers with different Sm<sup>3+</sup> content

液氮中,样品的热扰动受到限制,使得表面原子的自旋无序状态减弱,在外磁场方向上,原本处于无序状态的磁矩择优取向,从而使得饱和磁化强度增大。与饱和磁化强度不同,样品在液氮(77 K)中的矫顽力变化趋势虽与室温(300 K)大体相同,但数值始终低于室温条件下的数据。这是因为在液氮条件下,随着Sm<sup>3+</sup>含量的增加,会使得磁性离子间的超交换作用减弱,使体系内的自旋电子对开始倾斜,同时磁性离子也由磁共线性向非共线性结构转变,在晶体表面形成一个非磁化层,抑制了超交换作用,从而使矫顽力降低<sup>[29-33]</sup>。

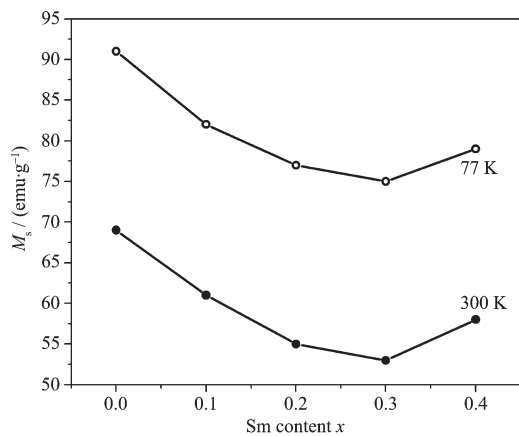


图5 在300 K和77 K下,BaSm<sub>x</sub>Fe<sub>12-x</sub>O<sub>19</sub>铁氧体纤维的饱和磁化强度随Sm含量的变化曲线

Fig.5  $M_s$  of BaSm<sub>x</sub>Fe<sub>12-x</sub>O<sub>19</sub> ferrite fibers with different Sm content at 300 K and 77 K

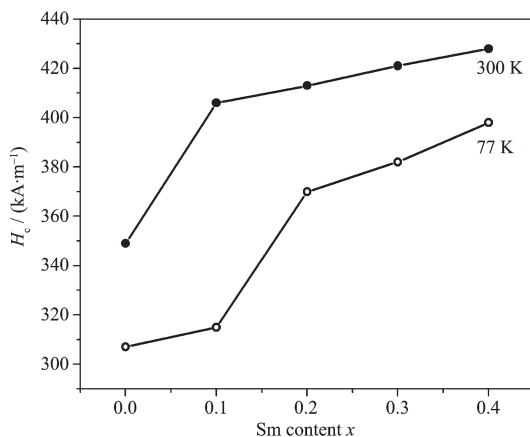


图6 在300 K和77 K下,BaSm<sub>x</sub>Fe<sub>12-x</sub>O<sub>19</sub>铁氧体纳米纤维的矫顽力随Sm<sup>3+</sup>含量的变化曲线

Fig.6  $H_c$  of BaSm<sub>x</sub>Fe<sub>12-x</sub>O<sub>19</sub> ferrite nanofibers with different Sm<sup>3+</sup> content at 300 K and 77 K

### 3 结 论

以金属盐和柠檬酸为原料,采用溶胶-凝胶法

成功制备了直径在1 μm以内的BaSm<sub>x</sub>Fe<sub>12-x</sub>O<sub>19</sub>(x≤0.4)铁氧体纳米纤维。经950℃烧结后,BaSm<sub>x</sub>Fe<sub>12-x</sub>O<sub>19</sub>(x≤0.4)铁氧体已成相。BaSm<sub>x</sub>Fe<sub>12-x</sub>O<sub>19</sub>(x≤0.4)铁氧体纤维的形貌和磁性能受掺杂离子浓度的影响。随着Sm<sup>3+</sup>含量的增加,BaSm<sub>x</sub>Fe<sub>12-x</sub>O<sub>19</sub>(x≤0.4)铁氧体纤维的晶粒开始减小。与此同时,饱和磁化强度呈先减小后增大的趋势。而矫顽力逐渐增大,由x=0时的348.8 kA·m<sup>-1</sup>增大到x=0.4时的427.5 kA·m<sup>-1</sup>。在液氮(77 K)条件下,纤维的饱和磁化强度有显著提高,而矫顽力则明显下降,这主要是由于纳米晶的表面自旋提高造成的。

### 参 考 文 献:

- Pullar C, Stacey H, Taylor D, et al. *Acta Mater.*, **2001**, *49*(20):4241-4250
- Mali A, Ataei A. *Scripta Mater.*, **2005**, *53*:1065-1070
- Mu H, Pan F, Chen N, et al. *Mater. Res. Bull.*, **2008**, *43*:1369-1372
- TAN Yu-Zhuo(谭玉琢), MENG Jin-Hong(孟锦宏), SUN Jie(孙杰), et al. *Chinese J. Inorg. Chem. (Wuji Huaxue Xuebao)*, **2008**, *24*(12):1989-1993
- ZHOU Ming-Shan(周明善), SHEN Rui-Qi(沈瑞琪), XU Ming(徐铭), et al. *Chinese J. Inorg. Chem. (Wuji Huaxue Xuebao)*, **2009**, *25*(9):1622-1626
- Parkin P, Elwin G, Barquin F, et al. *Adv. Mater.*, **2004**, *9*(8):643-645
- GUO Yuan-Zheng(郭远征), LI Cong-Ju(李从举), WANG Jiao-Na(王娇娜). *Chinese J. Inorg. Chem. (Wuji Huaxue Xuebao)*, **2009**(6):1018-1021
- LIU Ping(刘鹏), ZENG De-Chang(曾德长), ZHANG Ya-Hui(张亚辉), et al. *J. Magn. Mater. Devices (Cixing Cailiao Qijian)*, **2007**, *38*:5-12
- Jacoboa E, Hermea C, Bercoffb G. *J. Alloys Compd.*, **2010**(495):513-515
- Teh B, Saravanan N, Jefferson A. *Mater. Chem. Phys.*, **2007**(105):253-259
- Koga N, Tsutaoka J. *J. Magn. Magn. Mater.*, **2007**, *313*:168-175
- LI Qiao-Ling(李巧玲), ZHANG Cun-Rui(张存瑞), ZHAO Jing-Xian(赵静贤), et al. *Chinese J. Inorg. Chem. (Wuji Huaxue Xuebao)*, **2009**, *25*(2):312-216
- Wang S, Li T, Zhou J, et al. *J. Magn. Magn. Mater.*, **2003**, *257*:100-106
- Liu S, Hernández-Gámez P, Huang K, et al. *J. Magn. Magn. Mater.*, **2006**, *305*:524-528

- [15]Xu J, Ji J, Zou F, et al. *J. Magn. Magn. Mater.*, **2011**,**323**: 157-162
- [16]ZHANG Jia(庄稼), CHEN Xue-Ping(陈学平), CHI Yan-Hua(迟燕华), et al. *Acta Chim. Sin.(Huaxue Xuebao)*, **2006**,**64**: 154-157
- [17]Whitney M, Jiang S, Searson C. *Science*, **1993**,**261**:1316-1319
- [18]Tanase M, Bauer A, Hultgren A, et al. *Nano Lett.*, **2001**,**1**: 155-158
- [19]Yang Y, Sun W, Tay K, et al. *Adv. Mater.*, **2007**,**19**(14): 1839-1844
- [20]Dubois S, Marchal C, Beuken M, et al. *Appl. Phys. Lett.*, **1997**,**70**(3):396-398
- [21]Song Z, Shen Q, Xiang J, et al. *Mater. Chem. Phys.*, **2010**, **120**:213-216
- [22]Zhao L J, Yang H, Zhao X P, et al. *Mater. Lett.*, **2006**,**60**(1): 1-6
- [23]Gama L, Diniz A P, Costa A C F M, et al. *Phys. Rev. B: Condens. Mater.*, **2006**,**384**(1/2):97-99
- [24]Xiang J, Shen Q, Song Z, et al. *J. Solid. State. Chem.*, **2010**, **183**:1239-1244
- [25]Zhao J, Yang H, Yu X, et al. *J. Magn. Magn. Mater.*, **2006**, **305**(1):91-94
- [26]Shen Q, Liu Q, Song Z, et al. *Appl. Phys. A* DOI 10.1007/s00339-011-6294-3
- [27]Bai M, Liu X, Xie T, et al. *Mater. Sci. Eng. B*, **2000**,**68**: 182-185
- [28]Rashad M, Mohamed M, El-Shall H. *J. Mater. Process. Technol.*, **2008**,**198**:139-142
- [29]Hochepied F, Pilani P. *J. Appl. Phys.*, **2000**,**87**:2472-2478
- [30]Zhao M, Dunnill W, Zhu Q. *Chem. Mater.*, **2007**,**19**:916-921
- [31]Fang C, Ong K, Zhang Y, et al. *J. Magn. Magn. Mater.*, **1999**,**191**:277-281
- [32]Zhao J, Han Y, Yang H, et al. *J. Magn. Magn. Mater.*, **2007**, **309**:11-17
- [33]Zhao M, Dunnill W, Zhu Q, et al. *Chem. Mater.* **2007**,**19**: 916-